

Klausur: Grundlagen der Elektronik WS 07/08

Kurzfragen ohne Unterlagen (Bearbeitungszeit: 30 min)

- 1) Welche der Aussagen zu einem Halbleiter im thermodynamischen Gleichgewicht sind richtig?
- 2) Die Diffusionskapazität eines pn -Übergangs
- 3) Welche der Aussagen zu einem idealen pn -Übergang mit angelegter Spannung sind zutreffend?
- 4) Gegeben ist eine Verstärker-Schaltung a) und das Kleinsignal-Ersatzschaltbild des Transistors b). Die Kapazitäten stellen im interessierenden Frequenzbereich Kurzschlüsse dar. Zeichnen Sie das Wechselstromersatzschaltbild der Schaltung, und tragen Sie neben Ein- und Ausgangsgrößen die steuernde Größe u_{gs} ein.
Um welche Grundschialtung handelt es sich? _____
Um welchen Transistortyp handelt es sich? _____
- 5) Tragen Sie in die Strom-Spannungskennlinien eines pn -Übergangs die üblichen Arbeitspunkte in Form eines Kreuzes mit entsprechendem Buchstaben für folgende optoelektronische Bauelemente ein.
- 6) Skizzieren Sie in das vorbereitete Feld das Schaltbild eines CMOS-Inverters.
- 7) Welche der Aussagen zu einer MOS-Kapazität sind richtig?
- 8) Welche der Aussagen zum Bipolartransistor sind richtig?
- 9) Welche der Aussagen zum Operationsverstärker sind richtig?s wird üblicherweise als Darlington-Stufe ausgeführt.
- 10) Beschriften Sie in dem gezeigten Bändermodell die Bandkanten W_V und W_L sowie die beiden Quasi-Fermi-niveaus für die Elektronen und Löcher W_{Fn} und W_{Fp} . Welche der Aussagen dazu sind richtig unter der Voraussetzung gleicher effektiver Zustandsdichten im Leitungs- und Valenzband?

Prof. Dr. J. St. Campus-BS.de

Prof. Dr. J. St. Campus-BS.de
ip://p...et.campus-bs.de

62.1

Name:

Klausur: Grundlagen der Elektronik WS 07/08

Aufgaben ohne Unterlagen (Bearbeitungszeit: 2 Std.)

- 1) Die Konzentrationen der Elektronen und Löcher sowie der ionisierten Störstellen im homogenen Halbleiter hängen von der Lage des Fermi-Niveaus W_F wie folgt ab:

$$n = N_L \exp\left(\frac{W_F - W_L}{kT}\right); \quad p = N_V \exp\left(\frac{W_V - W_F}{kT}\right)$$

$$N_D^+ = N_D \left(g \exp\left(\frac{W_F - W_D}{kT}\right) + 1 \right)^{-1} \quad \text{mit } g = 2$$

$$N_A^- = N_A \left(g \exp\left(\frac{W_A - W_F}{kT}\right) + 1 \right)^{-1} \quad \text{mit } g = 4$$

Folgende Daten sind bekannt:

$kT_0 = 26 \text{ meV}$; $N_L = N_V = 10^{19} \text{ cm}^{-3} \cdot (T/T_0)^{3/2}$; $N_D = 5 \cdot 10^{13} \text{ cm}^{-3}$; $N_A = 1 \cdot 10^{15} \text{ cm}^{-3}$; $W_L = 1,4 \text{ eV}$; $W_V = 0$; $W_L - W_D = 6 \text{ meV}$; $W_A = 0,3 \text{ eV}$.

Im thermodynamischen Gleichgewicht soll die Lage des Fermi-Niveaus bei den beiden Temperaturen $T_0 = 300 \text{ K}$ und $T_1 = 3 \cdot T_0$ grafisch bestimmt werden (Shockley-Diagramm, Abb. 1).

- Berechnen Sie für T_0 und T_1 Zahlenwerte für N_L , N_V , Eigenleitungskonzentration n_i und -niveau W_i .
- Berechnen Sie zahlenmäßig für beide Temperaturen die Konzentrationen $N_D^+(W_F = W_D)$ und $N_A^-(W_F = W_V)$.
- Tragen Sie in das vorbereitete Shockley-Diagramm (Abb. 1) die Verläufe für $n(W_F)$, $p(W_F)$, $N_D^+(W_F)$, $N_A^-(W_F)$ sowie die Summenkurven für positive Ladungen und für negative Ladungen für beide Temperaturen ein (bitte eindeutig beschriften!). Markieren Sie alle wichtigen Größen (N_L , N_V , n_i , W_D , W_A , W_L , W_V , W_i).
- Wie groß sind für Ladungsneutralität die Elektronen- und Löcherkonzentrationen und wo liegt das Fermi-Niveau bei beiden Temperaturen (Werte aus Shockley-Diagramm ablesen)? Diskutieren Sie das Ergebnis!

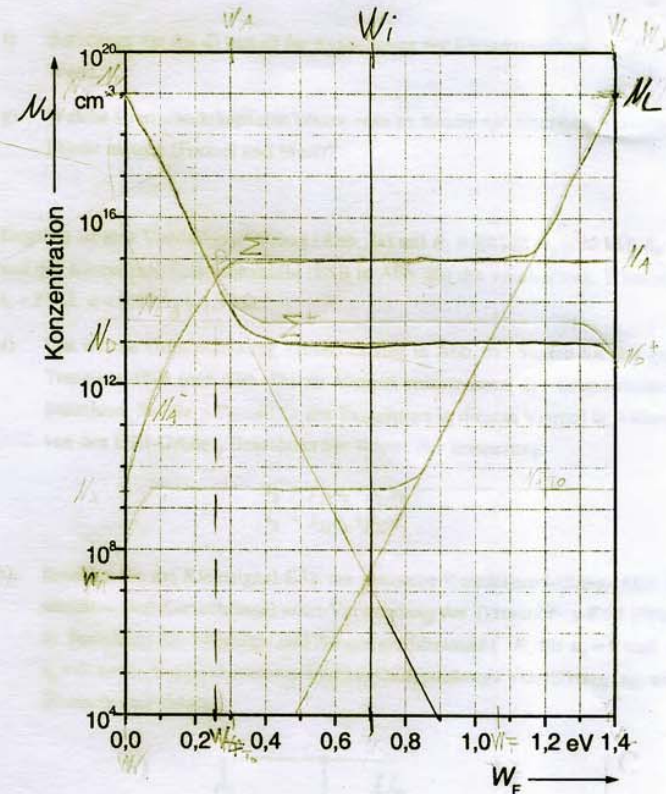


Abb. 1: Shockley-Diagramm

- Berechnen Sie für einen np^+ -Übergang (Abb. 2a) die Diffusionsspannung U_D und für den spannungslosen Fall ($U = 0$) die Ausdehnung der Verarmungszone $-w_n$ und die Größe der Sperrschichtkapazität pro Fläche c_s . Gegeben sind die thermische Energie $kT = 26 \text{ meV}$, die konstanten Dotierungen $N_D = 10^{15} \text{ cm}^{-3}$ und $N_A = 10^{18} \text{ cm}^{-3}$ (alle vollständig ionisiert) des abrupten Übergangs, die Eigenleitungskonzentration $n_i = 10^{10} \text{ cm}^{-3}$ sowie $e = 10^{-12} \text{ As/(Vcm)}$; $q = 1,602 \cdot 10^{-19} \text{ As}$.
 - Skizzieren Sie in den vorbereiteten Diagrammen (Abb. 2b bis d) die Verläufe der Raumladungsdichte ρ , der Feldstärke E und der Bandkanten W_L und W_V sowie der

Fermi-Energie W_F in der Diode für $U = 0$. Dabei soll angenommen werden, dass die Raumladungszone ($-w_n \leq x \leq w_p \approx 0$) vollständig an beweglichen Ladungsträgern verarmt ist, und ihre Ränder abrupt sind. Achten Sie auf vollständige Beschriftung!

- b) Berechnen Sie im Bereich $-w_n \leq x \leq 0$ den Verlauf der Raumladungen. Leiten Sie daraus unter Verwendung der Poisson-Gleichung

$$\Delta W_L = q \operatorname{div} E = \frac{q}{\epsilon} \rho = \frac{q^2}{\epsilon} (N_D^+ + p - N_A^- - n)$$

die Verläufe der Feldstärke $E(x)$ (die Bahngebiete sind feldfrei) und der Bandkante $W_L(x, W_L(-w_n))$ her (Formeln).

- c) Wie groß sind im thermodynamischen Gleichgewicht die Elektronenkonzentrationen $n_{n0}(-w_n)$ und $n_{p0}(w_p)$ an beiden Rändern der Verarmungszone (Formeln und Werte)? Tragen Sie in Abb. 2d die Diffusionsspannung U_D ein und bestimmen Sie unter Verwendung der Gleichung

$$n = N_L \exp\left(\frac{W_F - W_L}{kT}\right)$$

aus $n_{n0}(-w_n)$ und $n_{p0}(w_p)$ die Diffusionsspannung U_D (Formel und Wert).

- d) Wo ist die Feldstärke maximal (E_m in Abb. 2c eintragen) und wie groß ist sie in Abhängigkeit von w_n (Formel aus b)?

- e) Welchen Zusammenhang gibt es zwischen der maximalen Feldstärke E_m und Diffusionsspannung U_D (Formel)? Verdeutlichen Sie diesen in Abb. 2c).

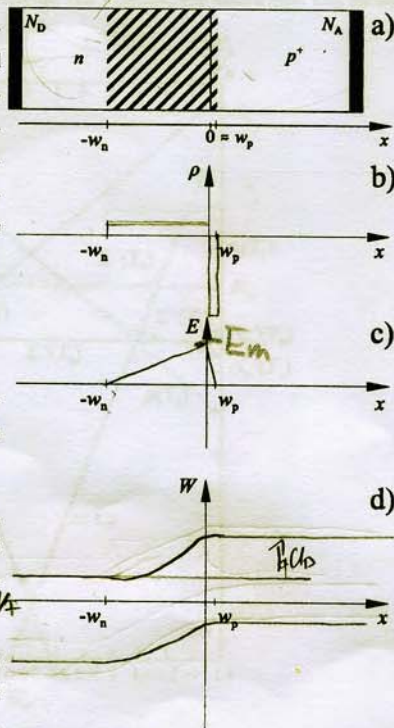


Abb. 2 np+-Diode (a), Raumladungsverlauf (b), Feldstärkeverlauf (c), Bänderdiagramm (d)

- f) Berechnen Sie aus d) und e) die Ausdehnung der Verarmungszone w_n (Formel und Wert).
 g) Welche Sperrschichtkapazität könnte man an diesem np+-Übergang bezogen auf die Fläche messen (Formel und Wert)?

- 3) Gegeben ist eine Verstärkerschaltung (Abb. 3a) mit $R_1 = 60 \text{ k}\Omega$; $R_2 = 20 \text{ k}\Omega$; $R_E = 50 \Omega$ und das Kleinsignal-Ersatzschaltbild (ESB in Abb. 3b) des verwendeten Transistors mit $r_e = 85 \Omega$; $\alpha = 0,99$; $r_b = 1,5 \text{ k}\Omega$.

- a) Um welche Grundschaltung handelt es sich in Abb. 3a? Stellen Sie das gegebene Transistor-ESB (nur Abb. 3b) als Vierpol entsprechend der Grundschaltung dar. Berechnen Sie die y-Parameter des Transistors in diesem Vierpol in Abhängigkeit von den ESB-Größen. Berechnen Sie Werte. Zur Erinnerung:

$$\begin{aligned} i_1 &= y_{11}u_1 + y_{12}u_2, \\ i_2 &= y_{21}u_1 + y_{22}u_2. \end{aligned}$$

- b) Erstellen Sie das Kleinsignal-ESB der gesamten Verstärkerschaltung (Abb. 3a, Kapazitäten sind Kurzschlüsse) unter Verwendung des Transistor- y-ESB (Werte aus a). Berechnen Sie Eingangs- und Ausgangswiderstand (R_e für $u_a = 0$ und R_a für $u_e = 0$) sowie Kurzschlussstrom- und Leerlaufspannungs-Verstärkung (v_{iKS} und v_{uLL}) (Formeln und Zahlen).

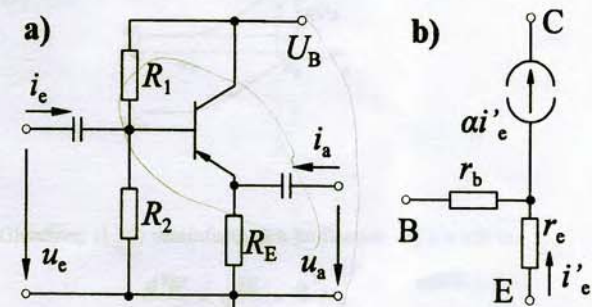


Abb. 3 Verstärkerschaltung (a) und Transistor-ESB (b)

Lösungen zu 1):

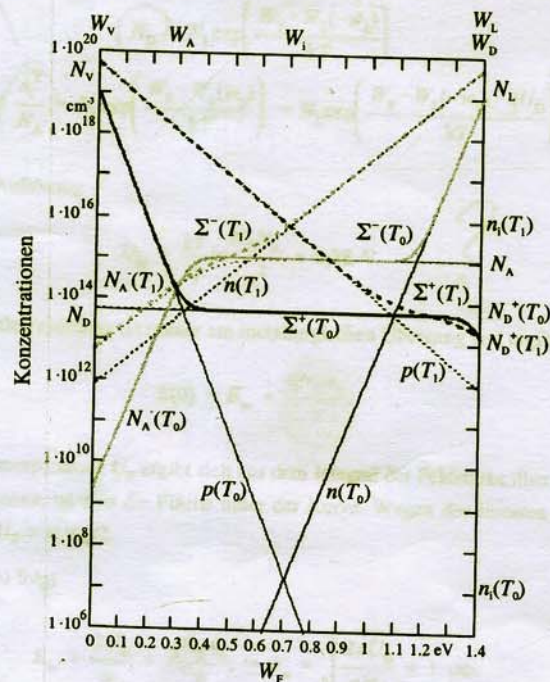
- a) Aus den gegebenen Daten ergeben sich $N_L = N_V = 10^{19} \text{ cm}^{-3}$ bei T_0 und $5,2 \cdot 10^{19} \text{ cm}^{-3}$ bei T_1 . Die gegebenen Gleichungen führen für $T_0 (T_1)$ zu $\frac{-74 \text{ eV}}{52 \text{ meV}}$

$$n_i = \sqrt{n p} = \sqrt{N_L N_V} \exp\left(\frac{W_V - W_L}{2kT}\right) = 1,7 \cdot 10^7 (6,2 \cdot 10^{15}) \text{ cm}^{-3}$$

bzw. aus $n_i = N_L \exp\left(\frac{W_i - W_L}{kT}\right)$ folgt $W_i = \frac{W_L}{2} + kT \ln\left(\sqrt{\frac{N_V}{N_L}}\right) = 0,7 (0,7) \text{ eV}$.

- b) Einsetzen ergibt $N_D^+(W_F = W_i) = 1,4 \cdot 10^{13} \text{ cm}^{-3}$ und $N_A^-(W_F = W_i) = 2,3 \cdot 10^9 \text{ cm}^{-3}$ bei T_0 und $N_D^+(W_F = W_i) = 1,6 \cdot 10^{13} \text{ cm}^{-3}$ und $N_A^-(W_F = W_i) = 5,2 \cdot 10^{12} \text{ cm}^{-3}$ bei T_1 .

- c) Zunächst werden mit den berechneten Daten die vier Asymptoten konstruiert und daraus

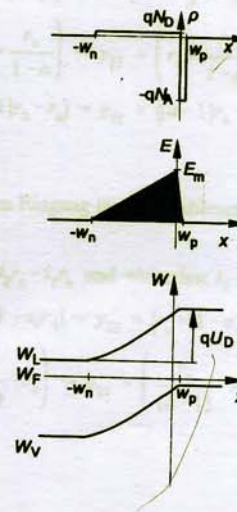


dann die Summenkurven (gestrichelte Verläufe gelten für T_1).

- d) Für Elektroneutralität müssen sich die positiven und negativen Ladungen ausgleichen. Am Schnittpunkt der beiden Summenkurven (fett) kann man ablesen $W_F(T_0; T_1) = 0,29; 0,7 \text{ eV}$ und $p(T_0; T_1) = 1,5 \cdot 10^{14}; 6,2 \cdot 10^{15} \text{ cm}^{-3}$ sowie $n(T_0; T_1) = 2$ (berechnet aus n_i^2/p); $6,2 \cdot 10^{15} \text{ cm}^{-3}$. Bei der höheren Temperatur ist die Eigenleitungskonzentration höher als die Dotierungskonzentrationen, so dass der Halbleiter dann eigenleitend ($n = p = n_i$) ist.

Lösung zu 2:

- a)



- b) Die Poisson-Gleichung (1.39) vereinfacht sich im Bereich $-w_n \leq x \leq 0$ zu:

$$\frac{d^2 W}{dx^2} = q \frac{dE}{dx} = \frac{q^2}{e} N_D$$

Einfache Integration vom linken Rand der Verarmungszone bis zu einem Ort x in der Verarmungszone ergibt die elektrische Feldstärke:

$$E(x) = \frac{q}{\epsilon} N_D (x + w_n).$$

Die zweite Integration liefert den Verlauf der Bandkanten:

$$W_L(x) - W_L(-w_n) = \frac{q^2}{\epsilon} N_D \int_{-w_n}^x (x' + w_n) dx' = \frac{q^2}{2\epsilon} N_D (x + w_n)^2$$

$$\rightarrow W_L(x) = \frac{q^2}{2\epsilon} N_D (x + w_n)^2 + W_L(-w_n).$$

- c) Am Rande der Verarmungszone herrscht wie in der gesamten Struktur Gleichgewicht, also $n_{n0}(-w_n) \approx N_D = 10^{15} \text{ cm}^{-3}$ bzw. $n_{p0}(w_p) = n_i^2/N_A = 10^2 \text{ cm}^{-3}$. Aus

$$N_D = N_L \exp\left(\frac{W_F - W_L(-w_n)}{kT}\right)$$

$$\text{und } \frac{n_i^2}{N_A} = N_L \exp\left(\frac{W_F - W_L(w_p)}{kT}\right) = N_L \exp\left(\frac{W_F - W_L(-w_n) - qU_D}{kT}\right)$$

folgt nach Auflösung

$$U_D = \frac{kT}{q} \ln \frac{N_D N_A}{n_i^2} = 0,78 \text{ V.}$$

- d) Die maximale Feldstärke ist immer am metallurgischen Übergang und ergibt sich aus b)

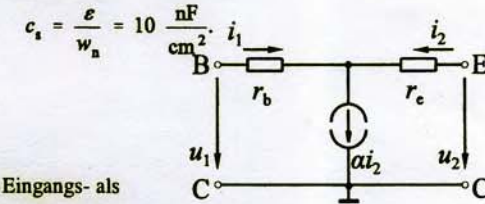
$$E(0) = E_m = \frac{q N_D w_n}{\epsilon}$$

- e) Die Diffusionsspannung U_D ergibt sich aus dem Integral der Feldstärke über die gesamte Verarmungszone, ist also die Fläche unter der Kurve. Wegen des linearen Zusammenhangs folgt $U_D = w_n \cdot E_m / 2$.

- f) Aus d) und e) folgt

$$E_m = \frac{2U_D}{w_n} = \frac{q N_D w_n}{\epsilon}; \rightarrow w_n = \sqrt{\frac{2\epsilon U_D}{q N_D}} = 1 \text{ } \mu\text{m}.$$

- g) Die Sperrschichtkapazität pro Fläche ergibt sich nach (1.56) zu



Lösung zu 3:

- a) Da der Kollektor sowohl im Eingangs- als auch im Ausgangskreis des Wechselstrom-Ersatzschaltbildes vorhanden ist, handelt es sich hier um eine Kollektorschaltung (siehe y-ESB). Zur Bestimmung der y-Parameter betrachten wir zunächst einen Kurzschluss am Ausgang ($u_2 = 0$) und lesen ab

$$u_1 = i_1 r_b - i_2 r_c \text{ und } i_1 = -i_2 + ai_2 = -i_2(1-a)$$

$$\rightarrow u_1 = i_1 \left(r_b + \frac{r_c}{1-a} \right) \rightarrow y_{11} = \left(r_b + \frac{r_c}{1-a} \right)^{-1} = 100 \text{ } \mu\text{S und}$$

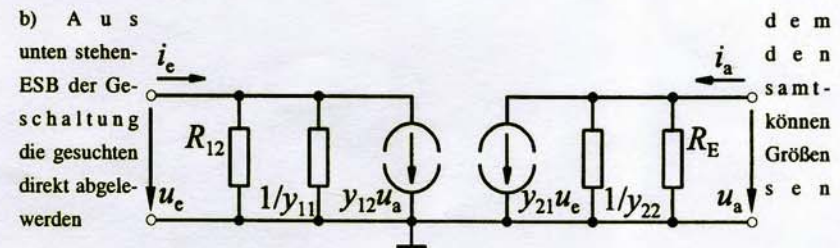
$$u_1 = i_2 [(a-1)r_b - r_c] \rightarrow y_{21} = [(a-1)r_b - r_c]^{-1} = -10 \text{ mS.}$$

Bei einem Kurzschluss am Eingang lässt sich ablesen, dass

$$u_2 = i_2 r_c - i_1 r_b \text{ und weiterhin } i_1 = i_2(a-1)$$

$$\rightarrow u_2 = i_2 \left[r_c + (1-a)r_b \right] \rightarrow y_{22} = [r_c + (1-a)r_b]^{-1} = 10 \text{ mS und}$$

$$u_2 = i_1 \left(\frac{r_c}{(a-1)} - r_b \right) \rightarrow y_{12} = \left(\frac{r_c}{(a-1)} - r_b \right)^{-1} = -100 \text{ } \mu\text{S.}$$



$$R_e = \frac{u_e}{i_e} \Big|_{u_a=0} = \frac{R_{12}}{y_{11}R_{12}+1} = 6 \text{ k}\Omega \text{ mit } R_{12} = \frac{R_1 R_2}{R_1 + R_2};$$

$$R_a = \frac{u_a}{i_a} \Big|_{u_e=0} = \frac{R_E}{y_{22}R_E+1} = 33 \text{ }\Omega;$$

$$v_{uLL} = \frac{u_a}{u_e} \Big|_{u_e=0} = -R_a y_{21} = 0,33;$$

$$v_{iKS} = \frac{i_a}{i_e} \Big|_{u_e=0} = R_e y_{21} = 60.$$